

## مدل سازی ایمونوانفورماتیکی، ساخت پلاسمیدهای حامل اپی‌توپ‌های CTL ویروس هپاتیت C و بررسی اولیه ایمنی زایی آنها

آرش آرش کیا، فرزین روحوند\*، آرش معمارنژادیان، شهاده علیزاده، فاطمه متولی، ملانیا ابراهیمی

بخش هپاتیت و ایدز، بانک ژن نوترکیب، انسستیتو پاستور ایران

نویسنده رابط: فرزین روحوند، انسستیتو پاستور ایران، بخش هپاتیت و ایدز، بانک ژن نوترکیب صندوق پستی ۱۳۱۶۹۴۲۵۵۱

تلفن: ۰۲۱-۶۶۹۶۹۲۹۱

تاریخ پذیرش: ۸۹/۱/۲۰

تاریخ دریافت: ۸۸/۶/۸

### چکیده:

**زمینه و اهداف:** تاثیرات سرکوب کننگی برخی از کلیدی‌ترین پروتئین‌های ویروس هپاتیت C (HCV) بر سیستم ایمنی و جهش سریع ویروس، توجه را به واحدهای ایمونوژن کوچک و پایدار جلب نمود. لذا، واکسن‌های مولتی-اپی-توپ به منظور تمرکز پاسخ ایمنی بر این واحدها معرفی شدند. ولی، به‌دلیل پاسخ ایمنی نسبتاً ضعیف علیه این واکسن‌ها، افزایش ایمنی زایی نیازمند تمهیمات بیشتری است. این مطالعه با هدف ساخت پلاسمیدهای حامل اپی‌توپ‌های CTL ویروس هپاتیت C به روش مدل سازی ایمونوانفورماتیک و تعیین اولیه ایمنی زایی آنها انجام شد.

**روش بررسی:** یک اپی‌توپ<sup>d</sup> H-2D<sup>d</sup> و دو اپی‌توپ HLA-A\*0201 از نواحی E1، E2 و core در HCV انتخاب شد و با ابزارهای ایمونوانفورماتیک برای بهترین تراالف آنالیز شد. تووالی مولتی-اپی‌توپ به روش SOEing-PCR ساخته شد و در ناقل pcDNA3.1+ کلون گردید. تووالی‌های ارتقاء دهنده PADRE، سیگنال رتیکولوم آندوپلاسمیک به صورت *in-vitro* به روش‌های RT-PCR، دات-بلات، وسترن-بلات و ایمونوفلورسانس بررسی شد. ارزیابی اولیه ایمنی زایی به صورت *in-vivo* با آزمایش ازدیاد حساسیت تاخیری (Delayed type hypersensitivity: DTH) انجام شد. نتایج با آزمون‌های Non parametric Mann-Whitney و ANOVA ارزیابی شدند.

**یافته‌ها:** نتایج آزمایش‌های *in-vitro* بیان پلاسمیدها را تائید کرد و ارزیابی‌های اولیه *in-vivo* پردازش و عرضه اپی‌توپ<sup>d</sup> H-2D<sup>d</sup> را در موش BALB/c نشان داد. همچنین در حالیکه اثرات ارتقاء پاسخ برای ERss و PADRE نشان داده شدند، اتصال HBsAg تاثیری در افزایش پاسخ نداشت.

**نتیجه گیری:** این مطالعه ارزش پیش‌بینی‌های ایمونوانفورماتیک و آزمایش DTH را، برای آنالیز اولیه واکسن‌های داوطلب مولتی اپی‌توپی در موش‌های BALB/c نشان داد. نتایج تائید کافی برای بررسی بیشتر سازه‌های طراحی شده را در موش ترانس ژنیک (تراریخته) HLA-A2 فراهم می‌کند.

**کلید واژه‌ها:** ایمونوانفورماتیک، تقویت کننده ایمنی، مولتی-اپی‌توپ، بیان یوکاریوتی، ویروس هپاتیت C

## مقدمه:

در طراحی سازه‌های چند اپی‌توبی، عوامل متعددی دخیل هستند. از مهم‌ترین آنها می‌توان به ترتیب قرارگیری اپی‌توب‌ها و وجود توالی‌های فاصله‌انداز (spacer) بین اپی‌توب‌ها اشاره کرد که به طور مستقیم با پردازش و عرضه اپی‌توب‌ها در ارتباط می‌باشند (۶، ۷). تا کنون سازه‌های مولتی‌اپی‌توبی علیه بیماری‌های عفونی مختلف و سرطان‌ها مورد آزمایش قرار گرفته است (۷). ولی این‌ماضی زایی این واکسن‌ها ضعیف است. محققین از روش‌های مختلف جهت افزایش پاسخ به این نوع واکسن‌ها استفاده می‌کنند. استفاده از عوامل کمکی جهت افزایش پاسخ این‌ماضی نسبت به اپی‌توب‌ها از جمله مواردی است که در طراحی این سازه‌ها مورد مطالعه قرار می‌گیرد (۸). از جمله این عوامل کمکی می‌توان به توالی PADRE (Pan-DR epitope) (universal) با اشاره کرد که یک اپی‌توب عمومی (universal) با قابلیت اتصال به محدوده وسیعی از هاپلوتاپ‌های MHC (Haplotypes) کلاس II انسانی و موشی می‌باشد (۸). همچنین از آنتی‌ژن سطحی ویروس هپاتیت B (HBsAg) به عنوان حامل و منبع اپی‌توب‌های کمکی ER (۹) و نیز توالی سیگنال رتیکولوم اندوپلاسمیک (ERss) (۱۰) به عنوان عاملی که می‌تواند به پردازش و عرضه اپی‌توبی کمک نماید، می‌توان نام برد (۸). لازم به ذکر است که در مطالعات محدودی که در آنها از ناقل‌های مولتی‌اپی‌توب علیه HCV استفاده شده است (۵)، نیاز به روش‌هایی جهت تقویت بیشتر پاسخ این‌ماضی مورد تأکید قرار گرفته است.

نکته قابل توجه در استفاده از اپی‌توب‌های محدود به HLA انسانی این است که بررسی این‌ماضی زایی این واکسن‌ها در موش‌های تراریخته (Transgenic Mouse) دارای HLA انسانی امکان پذیر می‌باشد (۸). با توجه به هزینه بالا و محدودیت دسترسی به این نوع از موش‌ها، استفاده از اپی‌توب‌های قابل عرضه با MHC موش‌های رایج آزمایشگاهی و انجام بررسی‌های اولیه بر روی این اپی‌توب‌ها قبل از مطالعه بر روی موش‌های تراریخته می‌تواند راهکار مناسبی باشد. همچنین به دلیل سطح بیانی اندک سازه‌های مولتی‌اپی‌توب که تا حدی ناشی از اندازه

ویروس هپاتیت C (Hepatitis C Virus) یکی از عوامل اصلی بیمارهای عفونی کبد است که در بیش از ۵۰٪ موارد منجر به عفونت مزمن می‌شود. در حال حاضر واکسن پیشگیری کننده در برابر این ویروس وجود ندارد و روش‌های درمانی نیز به صورت محدود عمل می‌نمایند. با توجه به وضعیت حاضر، نیاز به روش‌های موثر پیشگیری و یا درمان احساس می‌گردد (۱). شواهد موجود حاکی از آن است که درمان موفق بیماری و یا پاکسازی خودبخود ویروس از بدن با پاسخ شدید، پایدار و چندگانه (multispecific) سلول‌های T همراه است. این در حالی است که در عفونت مزمن با این ویروس، پاسخ سلول‌های T ضعیف و محدود می‌باشد. این امر عامل ایجاد عاقبت بیماری است. زیرا، سلول‌های T در این بیماران قدرت کافی برای تخریب سلول‌های کبدی آلوه را دارند ولی توان لازم جهت پاکسازی ویروس را ندارند (۲). بنابراین، تقویت پاسخ این نوع از سلول‌ها در عفونت مزمن می‌تواند به عنوان راهکاری در درمان بیماران مدد نظر قرار گیرد. استفاده از حاملین پلاسمیدی که بیان کننده ژن‌های عامل بیماریزا باشند، از جمله روش‌هایی است که در این راستا مورد توجه قرار گرفته است (۳، ۴). آنتی‌ژن‌های مرسوم به کار گرفته شده در حاملین پلاسمیدی معمولاً شامل آنتی‌ژن‌های کامل است. این در حالی است که برخی آنتی‌ژن‌های ویروس هپاتیت C core و E2 قابلیت سرکوب سیستم ایمنی را دارند و نیز اغلب تحت تأثیر جهش‌های ثانی سریع و مداوم قرار می‌گیرند (۲). با توجه به این خصوصیات، استفاده از اپی‌توب‌های (Epitopes) ایمنی‌زا به جای آنتی‌ژن کامل که پایداری (conservancy) قابل قبولی در برابر جهش‌های ثانی داشته باشند، مدد نظر قرار گرفت. در اینگونه واکسن‌های اپی‌توبی امکان استفاده از چندین اپی‌توب بر گرفته از آنتی‌ژن‌های مختلف به صورت همزمان وجود دارد. آنها تحت عنوان واکسن‌های مولتی‌اپی‌توبی (multiepitope vaccines) شناخته می‌شوند. این واکسن‌ها قادرند پاسخ ایمنی را بر روی اپی‌توب‌های بکار رفته متumerکز کنند و از اثرات ناخواسته آنتی‌ژن‌های کامل جلوگیری نمایند (۵).

([http://bimas.dcrf.nih.gov/molbio/hla\\_bind/](http://bimas.dcrf.nih.gov/molbio/hla_bind/)) Bimas نیز به کار گرفته شد، تا احتمال ایجاد اپی توپ‌های بینایی‌جی جدید با میل ترکیبی (Affinity) زیاد به حداقل برسد (۱۵). در نهایت بهینه‌سازی کدون‌های ژنتیکی جهت افزایش کارایی ترجمه در سلول‌های یوکاریوت با استفاده از جدول فراوانی کدون‌های انسانی (<http://www.kazusa.org.jp/codon/>) انجام شد (۱۶).

پس از بررسی ایمونوافورماتیک تمام حالت‌های ممکن، ناشی از قرار گرفتن اپی توپ‌ها در کتاب یکدیگر و دستیابی به بهترین ترتیب قرارگیری، ساخت دو توالی حدوداً ۶۰ نوکلئوتیدی با ۱۷ نوکلئوتید همپوشان سفارش داده شد (MWG Biotech, Germany) این توالی‌ها با استفاده از فن Splice Overlap Extensioning (SOEing) PCR به یکدیگر متصل شدند (۱۱). توالی حاصل پس از برش با دو آنزیم *BamHI/EcoRI* در پلاسمید یوکاریوتی (Invitrogen) pcDNA3.1+ (Invitrogen) کلون شد تا ناقل p21C به دست آید. همچنین توالی‌های کد کننده ERSS و نیز PADRE نیز به همین روش به ترتیب به انتهای ۵' توالی فوق اضافه گردید و به ترتیب ناقل‌های pERP21C و pP21C حاصل شدند (شکل ۱). در نهایت توالی کد کننده HBsAg در ناقل pcDNA3.1+ کلون گردید تا ناقل pcHBs حاصل گردد و توالی‌های 21C و P21C نیز به انتهای ۳' آن متصل شدند و پلاسمیدهای pH21C و pHP21C ساخته شدند (شکل ۱).

تمام ناقل‌های به دست آمده، در سلول *E.coli* DH5α ترانسفورم (Transform) شد و پس از توالی‌بایبی و تأیید صحت، در مقیاس زیاد با استفاده از NucleoBond® PC 10000 EF Kit (MN, Germany) در مراحل بعد مورد استفاده قرار گیرند.

#### پپتیدها و تهیه آنتی‌بادی مونوکلونال:

پپتیدهای اپی توپی PADRE E1<sub>363-372</sub>, E2<sub>405-414</sub> و core<sub>35-44</sub> یک اپی توپ غیر مرتبط از ویروس HIV E21C (ILKEPVHGV) به همراه پپتید مولتی اپی توپ که حاوی سه اپی توپ E2<sub>405-414</sub>, E1<sub>363-372</sub> و core<sub>35-</sub>

کوچک واحدهای ژنی کد کننده می‌باشد (۱۲, ۱۱)، بررسی سطح بیان این سازه‌ها و انجام تست‌های اولیه بررسی پاسخ ایمنی می‌تواند توجیه علمی و اقتصادی لازم جهت انجام تست‌های کامل تر و گران‌تر را فراهم نماید. مطالعه حاضر با هدف مدل سازی ایمونوافورماتیکی ساخت پلاسمیدهای حامل اپی توپ‌های CTL ویروس هپاتیت C و تعیین اولیه ایمنی زایی آنها انجام شد. به این ترتیب در مطالعه حاضر با هدف طراحی و ساخت داولطلب واکسن مولتی اپی توپ علیه HCV، سعی شد بر اساس آنالیزهای ایمونوافورماتیک دو اپی توپ محدود به HLA انسانی (HLA-A\*0201) و یک اپی توپ محدود به MHC موس H2-D<sup>d</sup> (BALB/c) از نواحی E2 و core ویروس هپاتیت C انتخاب شود. پس از ساخت پلاسمید بیان کننده این توالی صناعی، در گام اول از بیان آن در سلول‌های یوکاریوت اطمینان حاصل شد و در گام بعد پیش از بررسی ایمنی زائی در موس‌های ترازیخته، ابتدا پاسخ ایجاد شده علیه اپی توپ H2-D<sup>d</sup> با استفاده از آزمایش از دیاد حساسیت تاخیری در موس BALB/c بررسی گردید. همچنین به منظور ارتقاء پاسخ ایمنی، تاثیر عوامل کمکی PADRE و ERSS و HBsAg نیز با ساخت پلاسمیدهای بیان کننده مولتی اپی توپ متصل به این توالی‌ها بررسی شد.

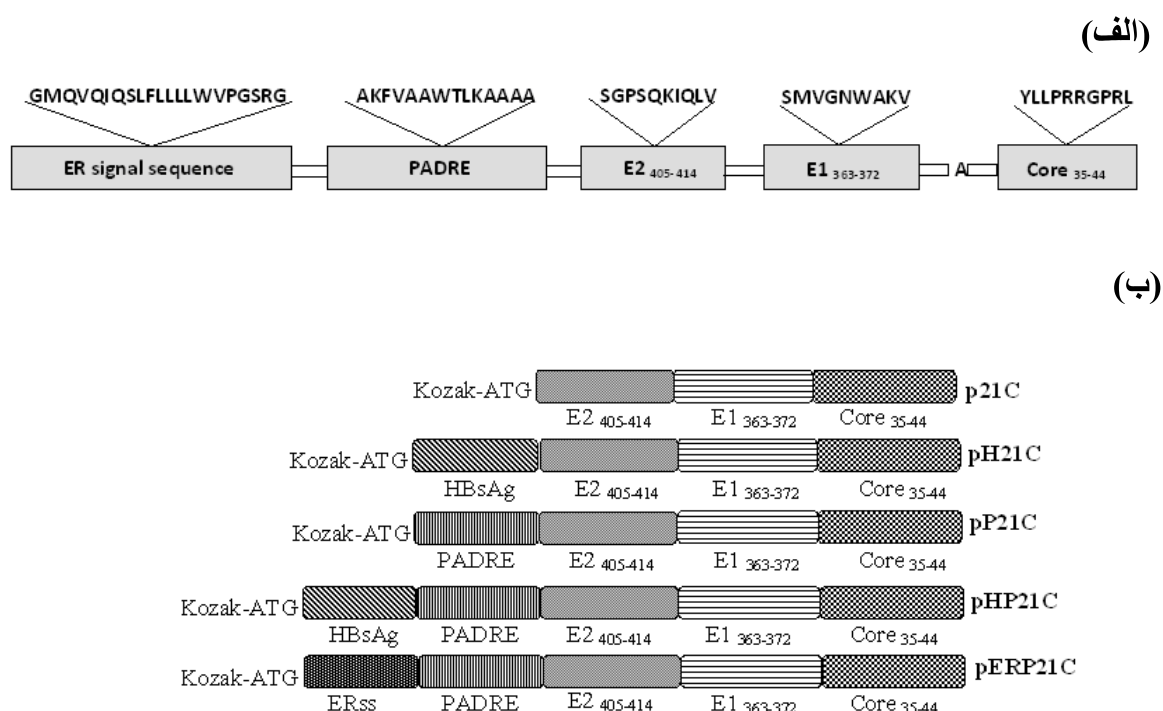
## مواد و روش‌ها:

### طراحی و ساخت سازه‌های ژنی:

دو اپی توپ محدود به HLA-A\*0201 انسانی از نواحی E1<sub>363-</sub>core<sub>35-44</sub>, E1<sub>363-372</sub>, core<sub>35-44</sub> و یک اپی توپ محدود به H2-D<sup>d</sup> (E2<sub>405-414</sub>) انتخاب شد و ناحیه E2 ویروس (E2<sub>405-414</sub>) تحت ارزیابی‌های ایمونوافورماتیک قرار گرفتند. این ارزیابی‌ها با استفاده از نرم‌افزارهای مدل سازی مانند PAProC (<http://www.paprocd.de>) (<http://www.cbs.dtu.dk/services/NetChop/>) Netchop جهت بهینه‌سازی ترتیب قرارگیری اپی توپ‌ها و به منظور دستیابی به بهترین حالت پردازش اپی توپی انجام گرفت (۱۳, ۱۴). همچنین یک مدل پیش‌بینی کننده بهنام

(Complete Freund's Adjuvant) مخلوط شد و به صورت زیر جلدی در مناطق مختلف در پشت حیوان تزریق گردید. دوز یادآور پس از ۴ هفته و همراه اجوانات ناقص فروند (Incomplete Freund's Adjuvant) تزریق شد و در نهایت ده روز پس از تزریق دوز یادآور، خونگیری و آزمایش سرم خرگوش به روش الیزا (ELISA) (جهت تأیید حضور آنتی بادی انجام پذیرفت (۱۷)).

۴۴ به صورت متواالی بود، به روش Fmoc و درجه خلوص بیش از ۹۷٪ توسط انتستیتو بیوشیمی دانشگاه لوزان Institut de Biochimie, Université de سویس (Lausanne, Swiss وجود شاخص آنتی زنیک در پیتید E21C که بتواند پاسخ آنتی بادی را در خرگوش برانگیزد، با استفاده از یک مدل پیش بینی کننده (<http://bio.dfci.harvard.edu/Tools/antigenic.html>) ارزیابی شد. پس از آن، تزریق پیتید به خرگوش انجام پذیرفت. به این صورت که ۵۰۰ میکروگرم از پیتید با



شکل ۱: نمایش سازه های مولتی اپی توب.

الف) توالی آمینواسیدی سیگنال رتیکولوم آندوپلاسمیک (ER signal sequence)، PADRE و سه اپی توب اختصاصی CTL E2<sub>405</sub>- CTL و E1<sub>363-372</sub> و Core<sub>35-44</sub> که کنار یکدیگر قرار داده شده اند.  
ب) نمایش پنج سازه بکار رفته که توالی اپی توب های اختصاصی CTL را به تنهایی یا همراه با HBsAg و یا سیگنال رتیکولوم آندوپلاسمیک (ERss) کد می کنند. Koz/ATG نمایانگر توالی Kozak ATG و کدون شروع ترجمه (ACCATG) است.

ارزیابی بیان ژن ها: ایمونوفلورسانس (Immunofluorescence) (Western-Blot) و ایمونوفلورسانس (Immunofluorescence) (Western-Blot) انجام گرفت. تمامی ناقل ها بعلاوه ناقل های شاهد شامل

ارزیابی بیان ژن ها: ایمونوفلورسانس (Immunofluorescence) (Western-Blot) و ایمونوفلورسانس (Immunofluorescence) (Western-Blot) انجام گرفت. تمامی ناقل ها بعلاوه ناقل های شاهد شامل

انجام PCR، حضور باندهای مربوطه بررسی گردید. آزمایش وسترن بلاط به روش استاندارد (۱۹) با انجام SDS-PAGE بر روی لیزات سلولی (Cell lysate) آغاز شد. به ترتیب با انتقال پروتئین از ژل ۱۲٪ به کاغذ نیتروسلولوزی، تیمار (treatment) شباهه با anti-HBs (Cedarlane, Canada) monoclonal Ab در دمای ۴ درجه سانتی گراد، مجاورت ۲ ساعته با goat anti-mouse IgG/HRP conjugate (Jackson ImmunoResearch, USA) در دمای اتاق و نهایتاً آشکارسازی با سوبسکریپت DAB پیگیری شد. در ایمونوفلورسانس (Immunofluorescence) (۷۲)، ساعت پس از کشت سلول‌های ترانسفکت شده بر روی لام شیشه‌ای، لام‌ها با پارافرمالدئید ۰.۴٪ (Paraformaldehyde) ثابت شد و جهت نفوذ پذیر ساختن دیواره سلول‌ها در مجاورت ۰.۱٪ Triton X-100 قرار گرفتند. سپس anti-HBs monoclonal Ab و به دنبال آن، FITC-conjugated anti-mouse IgG (Sigma) (بکار گرفته شدن و تصاویر سلولی در زیر میکروسکوپ ایمونوفلورسانس بررسی شد (۲۰)).

### آزمایش ازدیاد حساسیت تأخیری (Delayed hypersensitivity:DTH):

موس‌های BALB/c ماده ۶-۸ هفته‌ای از انسیتو پاستور کرج تهیه شدند و به گروههای ۶ تابی تقسیم شدند. بر مبنای اصول نگهداری و کار با حیوانات آزمایشگاهی و مطابق با مصوبات کمیته اخلاق انسیتو پاستور ایران نگهداری شدند و در روزهای صفر، ۲۱ و ۴۲ مقدار ۱۰۰ میکروگرم از پلاسمیدها به صورت زیر جلدی تزریق شدند. دو هفته پس از آخرین تزریق، ۱۰ میکروگرم از پیتید اپی‌توب موشی E2<sub>405-414</sub> یا مخلوط اپی‌توب‌های core<sub>35-44</sub> و E1<sub>363-372</sub> یا پیتید E21C و یا پیتید غیر مرتبط به تابی کف پای موش‌ها تزریق شد. پس از ۲۴، ۴۸، ۷۲ و ۹۶ ساعت، تورم پای موش‌ها اندازه گیری شد. تفاوت اندازه آنها با تورم کف پای دیگر که در آن با فر PBS (تزریق شده بود، مقایسه شد. میانگین تفاوت میزان تورم کف پای گروههای مختلف موشی با استفاده از آزمون‌های Mann-Whitney و Non parametric ANOVA ارزیابی شدند.

pcHBs و pcDNA3.1+ ترانسفکشن PolyFect (PolyFect reagent, Qiagen, Germany) و طبق دستورالعمل (Transfect) COS-7 سازنده به رده سلولی شدند. بدین صورت که یک روز قبل از ترانسفکشن، سلول‌های COS-7 در ظروف شش خانه‌ای (6-well plates) و در محیط کشت DMEM حاوی ۱۰٪ FCS-آل-گلوتامین و پنی‌سیلین/استرپتومایسین کشت داده شدند. ترانسفکشن با استفاده از ۱/۵ میکروگرم پلاسمید انجام شد و ۷۲ ساعت بعد، سلول‌ها تریپسینه شدند. پس از شستشو و سانتریفوژ، در محلول لیزکنده (Lysis buffer) حاوی ۰.۱ M Tris- ۰.۵% (V/V) Triton X-100 Cl (pH 7.8) حل شدند. پس از ۱۵ دقیقه گرمانخانه گذاری در ۳۷ درجه سانتی گراد و سانتریفوژ به مدت ۱۰ دقیقه، مایع رویی حاصل در نیتروژن مایع فرو برده شد (snap freeze) و جهت مصارف بعدی در -۷۰ درجه سانتی گراد نگهداری شد. جهت انجام دات بلاط به روش استاندارد (۱۸)، عصاره حاصل از تخریب سلول‌ها بر روی کاغذ نیتروسلولوز (Nitrocellulose membrane) خشک شدن به مدت یک ساعت در ۳۷ درجه سانتی گراد، شستشو داده شد و با محلول BSA 3٪ بلوک (Block BSA) گردید. به مدت یک شب در دمای ۴ درجه سانتی گراد در Rabbit مجاورت آنتی سرم پلی‌کلونال خرگوشی (polyclonal antiserum) که قبلاً تهیه شده بود، قرار گرفت. نهایتاً به مدت ۲ ساعت در دمای اتاق در مععرض HRP-conjugated anti-rabbit Ab (Sigma, USA) قرار داده شد. نقاط آشکار شده به دنبال افزودن DAB (Roche, Germany) شد و با استفاده از نرم‌افزار Adobe Photoshop 6.0. کترast (Contrast) آنها تنظیم گردید. جهت انجام آزمایش RNA RT-PCR سلول‌های Trizol (Invitrogen, USA) تخلیص شد. ۱/۵ میکروگرم از RNA با استفاده از MMLV reverse و Random Hexamer transcriptase (Promega, USA) به cDNA تبدیل شد و نهایتاً با استفاده از پرایمرهای اختصاصی مرتبط و

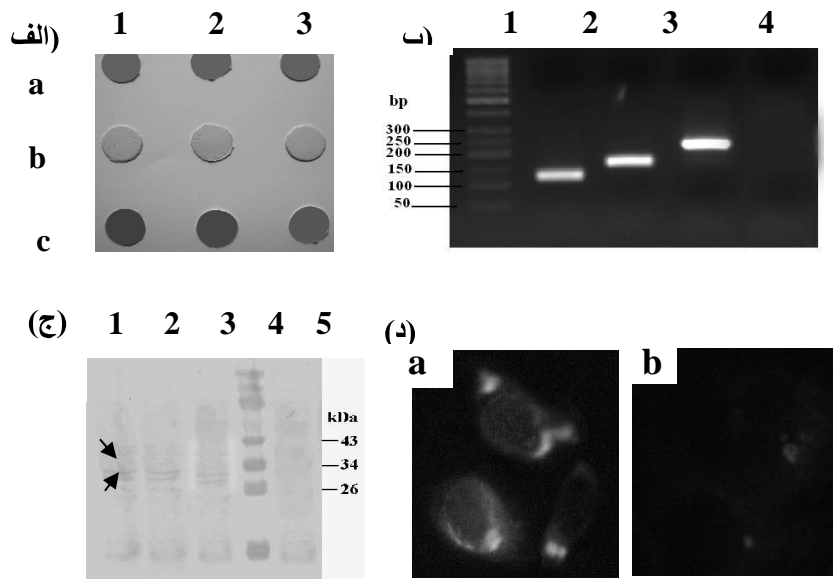
## یافته‌ها:

### ساخت سازه‌های پلاسمیدی:

بیان موقت (transient expression) پلاسمیدهای مولتی اپی توب فاقد HBsAg به دلیل اندازه کوچک آنها (حدود ۴ کیلو دالتون)، با روش‌های دات بلات و RT-PCR بررسی شد. به منظور انجام دات بلات، پیتید E21C به خرگوش تزریق گردید و همگام با نتایج پیش‌بینی‌های Polyclonal ایمونوافورماتیک، آنتی سرم پلی کلونال (antiserum) علیه آن تهیه شد (نتایج نشان داده نشده است). در آزمایش دات بلات، شدت رنگ لیزات سلول‌های ترانسفکت شده، قابل مقایسه با پیتید E21C لکه گذاری شده (به عنوان کنترل مثبت) بود که بیان پلاسمیدها را نشان می‌داد (شکل ۲-الف). همچنین حضور باندهای با اندازه‌های مورد انتظار در الکتروفوروز محصولات RT-PCR بر روی RNA تخلیص شده از سلول‌های ترانسفکت شده، نشان دهنده نسخه‌برداری ژن‌های کد کننده مولتی اپی توب‌ها بود (شکل ۲-ب).

ارزیابی‌های ایمونوافورماتیک نشان داد که ترتیب قرارگیری اپی توب‌ها به صورت E2405-414 و E1<sub>363-372</sub> و E21C core<sub>35-44</sub> بهترین حالت جهت پردازش پروتئازومی (Proteasomal processing) و حداقل احتمال ایجاد اپی توب‌های جدید با میل ترکیبی (Affinity) زیاد را به دنبال خواهد داشت. با توجه به نتایج بدست آمده، یک واحد اسید آمینه آلانین به انتهای اپی توب E1<sub>363-372</sub> افزوده شد تا پردازش (processing) مؤثری بر روی این اپی توب انجام شود (شکل ۱-الف). ژن مولتی اپی توب E21C پس از ساخت، به طور جداگانه و نیز به صورت متصل با توالی‌های ERss و PADRE در ناقل pcDNA3.1+ HBsAg کلون شد و پنج سازه مجزای بدست آمده، مورد بررسی‌های بعدی قرار گرفت (شکل ۱-ب).

### بررسی بیان ژن‌های مولتی اپی توب:



شکل ۲: بیان پیتیدهای مولتی اپی توب در رده سلولی COS-7. نسخه‌برداری و بیان پلاسمیدهای غیر متصل به HBsAg با استفاده از فناوری‌های دات بلات (الف) و RT-PCR (ب) ارزیابی شد.

(الف) نقاط مشاهده شده مربوط به ۲۰ میکرولیتر لیزات سلول‌های ترانسفکت شده با پلاسمیدهای pER21C و pP21C است (ردیف a). به ترتیب ستون‌های ۱، ۲ و ۳. در ردیف b نیز لیزات سلول‌های ترانسفکت شده با pcDNA3.1+ به عنوان شاهد منفی مشاهده می‌شود. ردیف c مربوط به مقایسه ۲۰، ۲۰، ۲۰ و ۴ نانوگرم از پیتید E21C لکه گذاری شده به عنوان شاهد مثبت می‌باشد (ستون‌های ۱، ۲ و ۳). تکثیر mRNA سلول‌های ترانسفکت شده به روش RT-PCR. حضور باندهای الکتروفورزی ۱۶۰، ۱۲۰، ۱۰۰ و ۸۰ نوکلتوتیدی را نشان داد.

(ب) به ترتیب ستون‌های ۲-۴ که مربوط به نسخه‌برداری صحیح پلاسمیدهای pER21C و pP21C و pHP21C می‌باشد. باند الکتروفورزی در سلول‌های ترانسفکت شده با pcDNA3.1+ (شاهد منفی) مشاهده نشد (ستون ۵).

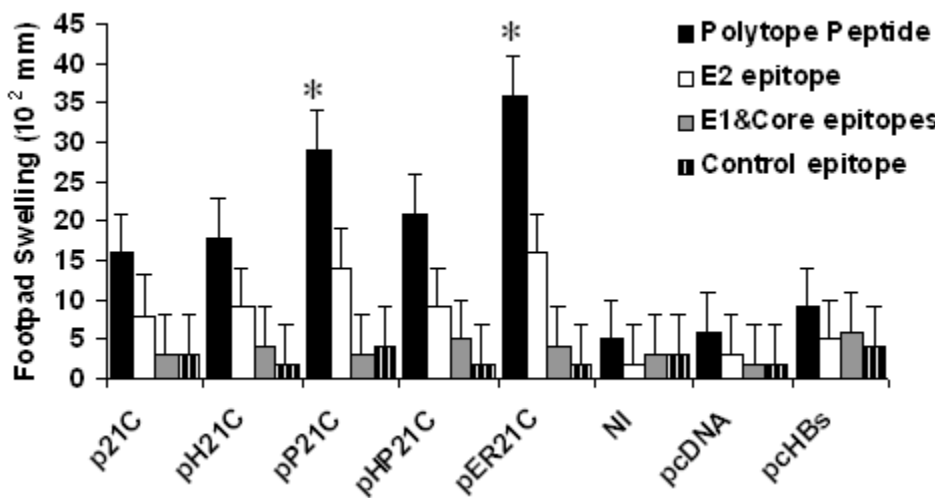
آنالیز بیان ناقل‌های حاوی HBsAg به روش‌های وسترن بلات (ج) و ایونوفلورسانس غیر مستقیم (د) انجام شد. در ستون‌های ۱ و ۲ غشا بلات شده (ج)، باندهای دوبلت با وزن مولکولی ۲۰ و ۳۳ کیلو دالتون که با پیکان نمایش داده شده‌اند، به ترتیب مربوط به حضور اشکال گلیکوزیله و غیر گلیکوزیله pH21C و pH21C می‌باشد. در ستون ۳ باندهای ۲۷ و ۳۰ کیلو دالتونی مربوط به پلاسمید حاوی HBsAg به تنهایی (pcHBs) مشاهده می‌شود. سلول‌های ترانسفکت شده با پلاسمید pH21C بدون قطعه pcDNA3.1+ به عنوان شاهد منفی در وسترن بلات (ستون ۵ در شکل ج) و ایونوفلورسانس (ب در شکل د) استفاده شدند.

با پیتیدهای E21C و اپی‌توبی E2<sub>405-414</sub> به‌طور معنی‌دار بیشتر از پای تزریق شده با پیتید شاهد یا اپی‌توب‌های وابسته به HLA انسانی (core<sub>35-44</sub> و E1<sub>363-372</sub>) بود ( $p<0.05$ ). همچنین در مقایسه با گروه‌های شاهد (گروه‌های تزریق شده با pcDNA3.1+ و pcDNA3.1)، پاسخ در گروه‌های تزریق شده با پلاسمیدهای pcHBs، پاسخ در گروه‌های تزریق شده با پلاسمیدهای مولتی‌اپی‌توب به‌طور معنی‌دار بالاتر بود (نمودار ۱). افزوده شدن اپی‌توب کمکی PADRE و همچنین اتصال ERSS به‌توالی مولتی‌اپی‌توبی، افزایش معنی‌داری در میزان تورم در موش‌های تزریق شده با پلاسمیدهای مرتبط ایجاد نمود ( $p<0.05$ ). این در حالیست که اتصال Ag HBsAg تفاوت محسوسی در پاسخ DTH ایجاد نکرد (نمودار ۱). در نهایت تورم ایجاد شده نسبت به اپی‌توب E2<sub>405-414</sub> در موش‌های واکسینه با پیتید E21C به‌طور معنی‌دار بیشتر از موش‌های واکسینه با پیتید اپی‌توبی E2<sub>405-414</sub> بود ( $p<0.05$ ).

بیان سازه‌های متصل به HBsAg به‌واسطه در دسترس بودن آنتی‌بادی مونوکلونال علیه HBsAg با دو روش وسترن بلاست و ایمونوفلورسانس ارزیابی شد. در آزمایش وسترن بلاست دو باند با تفاوت ۳ کیلو دالتون مشاهده شد. طبق گزارشات قبلی وجود دو باند نزدیک به هم می‌تواند به‌دلیل گلیکوزیلاسیون (Glycosylation) نسبی HBsAg و کنار هم قرار گرفتن باندهای مربوط به پروتئین‌های گلیکوزیله و غیر گلیکوزیله باشد (۲۱). این الگو علاوه بر ناقل کترول که فقط Ag HBsAg را بیان می‌کند، در ناقل‌های کد کننده مولتی‌اپی‌توب‌های متصل به HBsAg نیز مشاهده گردید (شکل ۲-ج). همچنین نتایج آزمایش ایمونوفلورسانس غیر مستقیم، تایید دیگری بر بیان پلاسمیدهای حاوی HBsAg بود (شکل ۲-د).

#### ایمنی زائی سازه‌های مولتی‌اپی‌توب:

پس از گذشت ۲۴، ۴۸، ۷۲ و ۹۶ ساعت از زمان تزریق پیتید صناعی E21C یا پیتید اپی‌توبی E2<sub>405-414</sub> یا مخلوط اپی‌توب‌های core<sub>35-44</sub> و E1<sub>363-372</sub> تورم کف پای موش‌ها اندازه‌گیری شد. این اندازه با تورم پای شاهد مقایسه گردید. نتایج نشان داد که تورم در پای تزریق شده



نمودار ۱: آنالیز پاسخ DTH. دو هفته پس از آخرین تزریق گروه‌های موشی BALB/c DNA با ۱۰ میکروگرم از پیتید E21C یا پیتید اپی‌توبی مخصوص موشی (E2 epitope) یا مخلوط اپی‌توب‌های اختصاصی انسانی (E1&Core epitopes) در ناحیه کف پا تزریق شدند. یک اپی‌توب از ویروس HIV نیز به عنوان اپی‌توب شاهد منفی (control epitope) بکار گرفته شد. همچنین گروه‌های موشی غیر ایمن (NI) و گروه‌های تزریق شده با pcDNA3.1+ و pcHBs به عنوان گروه‌های شاهد منفی در نظر گرفته شدند. تورم کف پای موش‌ها در هفتاد و دو مینی ساعت پس از تزریق پیتید، به حد اکثر رسید. نتایج نمایش داده شده مربوط به میانگین تورم پای شش موش در هر گروه پس از ۷۲ ساعت از زمان تزریق است. تفاوت معنی‌دار ( $p<0.05$ ) بین گروه‌های آزمایش و شاهد منفی با استفاده از آزمون ناپارامتری Mann-Whitney تعیین شده و با علامت \* نشان داده شده است.

## بحث:

کمکی ویژه سلول‌های  $CD4^+$  T در مولتی‌اپی‌توب‌های PADRE باسته به CTL است. بر این اساس اپی‌توب PADRE در سه سازه از پنج سازه‌ی ساخته شده، بکار رفت تا اثر آن بر روی پاسخ ایمنی، نسبت به اپی‌توب‌های CTL، ارزیابی شود. این اپی‌توب قادر است با میل ترکیبی بالایی MHC II به محدوده وسیعی از هابلوتاپ‌های (MHCII Haplotypes) انسانی و موشی متصل گردد(۸). در این مطالعه از HBsAg نیز به عنوان منبع دیگری از اپی‌توب‌های کمکی  $CD4^+$  T استفاده شد که می‌تواند با ایجاد ذرات کایمیریک (Chimeric)، به افزایش پاسخ ایمنی کمک کند (۲۴). همچنین احتمال افزایش پاسخ سلول‌های CTL نسبت به اپی‌توب‌ها با گنجاندن توالی سیگنال ریکولوم آندوپلاسمیک (Endoplasmic Reticulum Signal) در انتهای<sup>۵</sup> یکی از سازه‌ها ارزیابی شد. اتصال این توالی، پردازش اپی‌توب‌های ویژه CTL را در شبکه آندوپلاسمیک افزایش می‌دهد (۸، ۱۰). نکته قابل بحث در مورد ارزیابی بیان سازه‌های مولتی‌اپی‌توب در این پژوهش، حضور باند دو گانه (doublet) در ناقل‌های حاوی HBsAg در آزمایش وسترن بلات می‌باشد. بر اساس مطالعات قبلی، بیان HBsAg در سلول‌های یوکاریوت منجر به گلیکوزیلاسیون نسبی (partial glycosylation) این آنتی‌ژن می‌شود و یک پروتئین و یک گلیکوپروتئین با تفاوت وزن مولکولی ۳ کیلو دالتون ایجاد می‌کند (۲۵). حضور این باند دو گانه در سازه‌های حاوی مولتی‌اپی‌توب متصل به HBsAg نشان دهنده عدم اخلال در تغییرات پس از ترجمه این پروتئین و گلیکوزیلاسیون آن پس از اتصال اپی‌توب‌های خارجی است.

اغلب روش‌های بررسی پاسخ سلول‌های T، منجمله الیزپات (ELISPOT)، سایتوکاین فلوسیتومتری (Cytokine flowcytometry) و بررسی سیتوکسیسیته، در خارج از محیط واقعی بدن انجام می‌شود که تفسیر آنها نیازمند دقت بالایی است (۲۶). در مقابل، آزمایش DTH به صورت *in vivo* انجام شد که می‌تواند به عنوان یک تست اولیه مقرر باشد، گنجاندن اپی‌توب مورد

در مطالعه حاضر، پلاسمیدهای یوکاریوتی حاوی کاست بیانی (Expression cassette) مولتی‌اپی‌توبی پس از بررسی‌های ایمونوافورماتیک با موفقیت ساخته شد و در سلول‌های یوکاریوتی بیان گردید. بررسی ایمنی‌زایی این ناقل‌ها در موش‌های BALB/c به روش DTH نشان داد که افزودن توالی‌های کمکی مانند ERss و PADRE توانایی تقویت پاسخ ایمنی را دارد.

جهت ساخت سازه‌های ژنی، یک اپی‌توب محدود به MHC موشی (H2-D<sup>d</sup>) از ناحیه E2 ویروس هپاتیت C (E2<sub>405-414</sub>) و دو اپی‌توب محدود به HLA انسانی از نواحی E1 و core ویروس (E1<sub>363-372</sub>) و (core<sub>35-44</sub>) بر مبنای پایداری (conservancy) آنها در بین ژنوتیپ‌های مقاوم‌تر به درمان، یعنی ژنوتیپ‌های 1a، 1b و 4، انتخاب شدند. عامل دیگری که در انتخاب اپی‌توب‌های محدود به HLA-A\*0201 نقش داشت، تحت غالب (subdominant) بودن آنها در آنتی‌ژن طبیعی بود (۲۲). بر اساس برخی از مطالعات انجام شده، پاسخ نسبت به اپی‌توب‌های تحت غالب می‌تواند پاسخ ایمنی ناکارآمد در مقابل اپی‌توب‌های غالب را جبران نماید. این وضعيت به مخصوص در مورد بیماری‌های مزمن عفونی مانند هپاتیت C که پاسخ سلول‌های CTL نسبت به اپی‌توب‌های غالب چهار تحمل (Tolerance) می‌گردد یا حذف می‌شود، مصدق بیشتری می‌یابد (۲۳). انتخاب اپی‌توب محدود به H2-D<sup>d</sup> نیز جهت ارزیابی‌های اولیه پاسخ ایمنی در موش‌های BALB/c، قبل از بررسی بر روی موش‌های گران قیمت تاریخته، صورت گرفت. بر این اساس این سه اپی‌توب در تمام اشکال ممکن به دنبال یکدیگر قرار داده شد. سپس بررسی‌های ایمونوافورماتیک انجام گرفت تا بهترین حالت جهت برش پروتئازومی، پیش‌بینی شده و احتمال ایجاد اپی‌توب جدید (neoepitope) با میل ترکیبی زیاد که ناشی از کنار هم قرار گرفتن اپی‌توب‌ها می‌باشد، به حدائق برسد (۱۴، ۱۳) و در نهایت توالی E21C به عنوان بهترین حالت تعیین شد.

یک عامل مهم که گاهی در طراحی واکسن‌های مولتی اپی‌توب محل اختلاف می‌باشد، گنجاندن اپی‌توب‌های

CTL مستقیماً به مولکول‌های MHC I متصل شده و منجر به ایجاد تحمل (Tolerance) می‌شوند (۳۲). این تحمل ناشی از اتصال اپی‌توب‌ها به MHC I سلول‌های غیر حرفه‌ای عرضه کننده آنتی‌ژن است که مولکول‌های کمکی (co-stimulatory) مناسی بیان ننمی‌کنند (۳۳). همچنین اپی‌توب‌های کوچک در مقایسه با پیتیدهای بزرگتر، نیمه عمر کمتری در سطح سلول‌ها دارند، که می‌تواند دلیل دیگری بر اینمنی زایی کمتر آنها باشد (۳۴).

### نتیجه گیری:

میزان جهش زیاد ژن‌های ویروس هپاتیت C استفاده از نواحی پایدار (conserved) ژنوم ویروس جهت ساخت واکسن را به یکی از زمینه‌های فعال تحقیقاتی مبدل نموده است. در این راستا، استفاده از روش‌های گوناگون در بکارگیری این نواحی ژنومیک (Genomic regions) مدنظر قرار گرفته است. در پژوهش حاضر نیز جهت دستیابی به شرایط بهینه اینمنی زایی اپی‌توب‌های HCV، چندین سازه ژنی پس از بررسی‌های *in silico* ساخته شد و بیان آنها به صورت *in vitro* نشان داده شد. در نهایت پاسخ اینمنی اولیه به صورت *in vivo* با استفاده از آزمون DTH در موش‌های BALB/c ارزیابی گردید. همچنین اتصال اپی‌توب PADRE و توالی ERss به اپی‌توب‌ها، اینمنی سلولی نسبت به اپی‌توب تحت بررسی را به طور معنی دار بهبود بخشید.

به دنبال نتایج این مطالعه، مطالعات بعدی به منظور بررسی اینمنی زایی اپی‌توب‌های تحت غالب E1<sub>363-372</sub> و core<sub>35-44</sub> در موش‌های تراویرینخته ترانس ژنیک HLA-A2 و با استفاده از روش‌های دقیق‌تر بررسی پاسخ اینمنی، در حال انجام می‌باشد.

### تقدیر و تشکر:

کلیه هزینه‌های این پژوهش از سوی انتستیتو پاستور ایران تأمین شده است.

استفاده قرار گیرد (۲۷). پاسخ مثبت DTH در موش‌های واکسینه با DNA نشاندهنده پردازش و عرضه اپی‌توب E2<sub>405-414</sub> و توانایی آن در تحریک پاسخ اینمنی سلولی است. همچنین ایجاد پاسخ در موش‌های واکسینه با سازه‌های حاوی مولتی اپی‌توب، برخلاف گروههای تزریق شده با پلاسمیدهای کترول (pcHBs و pcDNA3.1+) یا موش‌های اینمن نشده، اختصاصی بودن پاسخ DTH را نشان می‌دهد.

افروden اپی‌توب PADRE در برخی مطالعات، تاثیر اندکی بر افزایش پاسخ نسبت به اپی‌توب‌های CTL داشته است (۲۸). در این مطالعه، اتصال PADRE به توالی DTH مولتی اپی‌توب، افزایش معنی داری در میزان پاسخ CTL ایجاد نمود. این یافته مطابق با برخی نتایج مبنی بر اثر افزایشی این اپی‌توب بر روی پاسخ به اپی‌توب‌های CTL است (۸). به علاوه، اتصال ERss به انتهای <sup>۵</sup> توالی مولتی اپی‌توب که اپی‌توب‌های CTL را از مسیر غیر وابسته به TAP (TAP-independent) وارد شبکه اندوپلاسمیک می‌کند (۲۹)، نیز باعث افزایش معنی داری در میزان پاسخ DTH شد. این یافته نیز با نتایج برخی مطالعات دیگر مطابقت دارد (۲۹).

در مطالعه حاضر، برخلاف انتظار و گزارشات قبلی (۹، ۲۴)، اتصال HBsAg به توالی مولتی اپی‌توب، افزایش قابل مشاهده‌ای در پاسخ اینمنی نسبت به اپی‌توب E2<sub>405-414</sub> ایجاد ننمود. در توجیه این یافته می‌توان به رقابت احتمالی اپی‌توب‌های غالب HBsAg با اپی‌توب E2<sub>405-414</sub> جهت عرضه به مولکول‌های MHC I اشاره نمود. این نوع رقابت که از طریق کاهش موثر پاسخ کلی به آنتی‌ژن، واکنش سلول‌های T را تغییر می‌دهد، می‌تواند اینمنی زایی اپی‌توب را مهار نماید (۳۰).

پاسخ DTH علیه اپی‌توب E2<sub>405-414</sub> در موش‌های تحریک شده با پیتید E21C به طور معنی دار بالاتر از موش‌های تحریک شده با اپی‌توب E2<sub>405-414</sub> است. این حالت می‌تواند به دلیل اندوسیتوز، پردازش و عرضه پیتید E21C توسط سلول‌های حرفه‌ای عرضه کننده آنتی‌ژن (minimal) باشد. این در حالیست که اپی‌توب‌های تکی (۳۱).

## فهرست منابع:

- 1.Lang K and Weiner DB. Immunotherapy for hcv infection: Next steps. *Expert Rev Vaccines* 2008; **7**(7):915-23.
- 2.Ishii S and Koziel MJ. Immune responses during acute and chronic infection with hepatitis c virus. *Clin Immunol* 2008; **128**(2):133-47.
- 3.Arvin AM and Greenberg HB. New viral vaccines. *Virology* 2006; **344**(1):240-9.
- 4.Nagata T, Aoshi T, Uchijima M, Suzuki M and Koide Y. Cytotoxic t-lymphocyte-, and helper t-lymphocyte-oriented DNA vaccination. *DNA Cell Biol* 2004; **23**(2):93-106.
- 5.Martin P, Simon B, Lone YC, Chatel L, Barry R, Inchauspe G, et al. A vector-based minigene vaccine approach results in strong induction of t-cell responses specific of hepatitis c virus. *Vaccine* 2008; **26**(20):2471-81.
- 6.Sette A, Livingston B, McKinney D, Appella E, Fikes J, Sidney J, et al. The development of multi-epitope vaccines: Epitope identification, vaccine design and clinical evaluation. *Biologicals* 2001; **29** (3-4):271-6.
- 7.Suhrbier A. Polytope vaccines for the codelivery of multiple cd8 t-cell epitopes. *Expert Rev Vaccines* 13-207:(2)1;2002.
- 8.Doan T, Herd K, Ramshaw I, Thomson S and Tindle RW. A polytope DNA vaccine elicits multiple effector and memory ctl responses and protects against human papillomavirus 16 e7-expressing tumour. *Cancer Immunol Immunother* 2005; **54**(2):157-71.
- 9.Woo WP, Doan T, Herd KA, Netter HJ , Tindle RW. Hepatitis b surface antigen vector delivers protective cytotoxic t-lymphocyte responses to disease-relevant foreign epitopes. *J Virol* 2006; **80**(8):3975-84.
- 10.Shi L, Liu S, Fan GX, Sheng L, Ren HX, Yuan YK. Effective induction of type 1 cytotoxic t cell responses in mice with DNA vaccine encoding two hepatitis c virus cytotoxic t lymphocyte epitopes. *Viral Immunol* 2006; **19**(4):702-11.
- 11.Thomson SA, Elliott SL, Sherritt MA, Sproat KW, Coupar BE, Scalzo AA, et al. Recombinant polyepitope vaccines for the delivery of multiple cd8 cytotoxic t cell epitopes. *J Immunol* 1996; **157**(2):822-6.
- 12.Thomson SA, Sherritt MA, Medveczky J, Elliott SL, Moss DJ, Fernando GJ, et al. Delivery of multiple cd8 cytotoxic t cell epitopes by DNA vaccination. *J Immunol* 1998; **160**(4):1717-23.
- 13.esmir C, Nussbaum AK, Schild H, Detours V , Brunak S. Prediction of proteasome cleavage motifs by neural networks. *Protein Eng* 2002; **15**(4):287-96.
- 14.Nussbaum AK, Kuttler C, Hadeler KP, Rammensee HG , Schild H. Paproc: A prediction algorithm for proteasomal cleavages available on the www. *Immunogenetics* 2001; **53**(2):87-94.
- 15.Parker KC, Bednarek MA , Coligan JE. Scheme for ranking potential hla-a2 binding peptides based on independent binding of individual peptide side-chains. *J Immunol* 1994; **152**(1):163-75.
- 16.Deml L, Bojak A, Steck S, Graf M, Wild J, Schirmbeck R, et al. Multiple effects of codon usage optimization on expression and immunogenicity of DNA candidate vaccines encoding the human immunodeficiency virus type 1 gag protein. *J Virol* 2001; **75**(22):10991-1001.
- 17.Carter J. *Production of anti-peptide antisera*. New York: John Wiley & Sons Inc. 2003; 9.3.1-9.3.16
- 18.Loi PK, McGraw HF , Tublitz NJ. Peptide detection in single cells using a dot immunoblot assay. *Peptides* 1997; **18**(5):749-53.
- 19.Towbin H, Staehelin T , Gordon J. Electrophoretic transfer of proteins from polyacrylamide gels to nitrocellulose sheets: Procedure and some applications.

- Proc Natl Acad Sci U S A 1979; **76**(9):4350-4.
- 20.Inada T , Yamazaki S. Replication of lactate dehydrogenase-elevating virus in cells infected with murine leukaemia viruses in vitro. *J Gen Virol* 1991; **72** ( Pt 10) 2437-44.
- 21.Hui J, Mancini M, Li G, Wang Y, Tiollais P , Michel ML. Immunization with a plasmid encoding a modified hepatitis b surface antigen carrying the receptor binding site for hepatocytes. *Vaccine* 1999; **17**(13-14):1711-8.
- 22.Himoudi N, Abraham JD, Fournillier A, Lone YC, Joubert A, Op De Beeck A, *et al.* Comparative vaccine studies in hla-a2.1-transgenic mice reveal a clustered organization of epitopes presented in hepatitis c virus natural infection. *J Virol* 2002; **76**(24):12735-46.
- 23.Chen Y, Webster RG , Woodland DL. Induction of cd8+ t cell responses to dominant and subdominant epitopes and protective immunity to sendai virus infection by DNA vaccination. *J Immunol* 1998; **160**(5):2425-32.
- 24.Puaux AL, Marsac D, Prost S, Singh MK, Earl P, Moss B, *et al.* Efficient priming of simian/human immunodeficiency virus (shiv)-specific t-cell responses with DNA encoding hybrid shiv/hepatitis b surface antigen particles. *Vaccine* 2004; **22**(27-28):3535-45.
- 25.Jin J, Yang JY, Liu J, Kong YY, Wang Y , Li GD. DNA immunization with fusion genes encoding different regions of hepatitis c virus e2 fused to the gene for hepatitis b surface antigen elicits immune responses to both hcv and hbv. *World J Gastroenterol* 2002; **8**(3):505-10.
- 26.Whiteside TL, Zhao Y, Tsukishiro T, Elder EM, Gooding W , Baar J. Enzyme-linked immunospot, cytokine flow cytometry ,and tetramers in the detection of t-cell responses to a dendritic cell-based multipeptide vaccine in patients with melanoma. *Clin Cancer Res* 2003; **9**(2):641-9.
- 27.Luo Y and Dorf ME. Delayed-type hypersensitivity. In: Ausubel FM, Brent E, Moore DD, Seidman JG, Smith JA and Struhl K, editors. *Current protocols in immunology*. New York: John Wiley & Sons Inc. 1993;PP: 451.
- 28.Velders MP, Weijzen S, Eiben GL, Elmishad AG, Kloetzel PM, Higgins T, *et al.* Defined flanking spacers and enhanced proteolysis is essential for eradication of established tumors by an epitope string DNA vaccine. *J Immunol* 2001; **166**(9):5366-73.
- 29.Xu W, Chu Y, Zhang R, Xu H, Wang Y , Xiong S. Endoplasmic reticulum targeting sequence enhances hbv-specific cytotoxic t lymphocytes induced by a ctl epitope-based DNA vaccine. *Virology* 2005; **334**(2):255-63.
- 30.Chengalvala MV, Bhat RA, Bhat BM, Vernon SK , Lubeck MD. Enhanced immunogenicity of hepatitis b surface antigen by insertion of a helper t cell epitope from tetanus toxoid. *Vaccine* 1999; **17** : 1035-41.
- 31.Sette A , Fikes J. Epitope-based vaccines: An update on epitope identification, vaccine design and delivery. *Curr Opin Immunol* 2003; **15**(4):461-70.
- 32.Zwaveling S, Ferreira Mota SC, Nouta J, Johnson M, Lipford GB, Offringa R, *et al.* Established human papillomavirus type 16-expressing tumors are effectively eradicated following vaccination with long peptides. *J Immunol* 2002; **169**(1):350-8.
- 33.Toes RE, van der Voort EI, Schoenberger SP, Drijfhout JW, van Bloois L, Storm G, *et al.* Enhancement of tumor outgrowth through ctl tolerization after peptide vaccination is avoided by peptide presentation on dendritic cells. *J Immunol* 1998; **160**(9):4449-56.
- 34.Lanzavecchia A and Sallusto F. Antigen decoding by t lymphocytes: From synapses to fate determination. *Nat Immunol* 2001; **2**(6):487-92.